



БИООРГАНИЧЕСКАЯ ХИМИЯ

том 8 * № 8 * 1982

УДК 547.963.32.07

СИНТЕЗ АНАЛОГОВ ТИМИДИНА С РАЗВЕТВЛЕННЫМИ ЗАМЕСТИТЕЛЯМИ В ПЯТОМ ПОЛОЖЕНИИ ПИРИМИДИНОВОГО ЦИКЛА И ИХ ИЗУЧЕНИЕ

*Мельник С. Я., Бахмадова А. А., Ярцева И. В.,
Преображенская М. Н.*

*Всесоюзный онкологический научный центр
Академии медицинских наук СССР, Москва*

Загуляева О. А., Мамаев В. П.

*Институт органической химии Сибирского отделения
Академии наук СССР, Новосибирск*

Чекунова Э. В., Бектемиров Т. А., Анджапаридзе О. Г.

*Московский научно-исследовательский институт вирусных препаратов
Министерства здравоохранения СССР*

Конденсацией силильных производных 5-втор-бутил-, 5-изобутил- и 5-(α -оксиизобутил)урацила с 2-дезокси-3,5-ди-O-n-толуил- α -D-рибофуранозилхлоридом в дихлорэтане в присутствии SnCl_4 и последующим дезакрилированием синтезированы соответствующие аномерные 5-замещенные 2'-дезоксипуридины. После обработки реакционной смеси, образующейся при взаимодействии 5-(α -оксиизобутил)урацила с ацилгалогенозой, помимо целевых дезоксирибозидов выделены аномерные дезоксирибозиды 5-(α -этоксизобутил)урацила. Гликозилированием 2,4-дibenзилокси-5-(α -оксиизопропил)пириимида синтезирован α -D-2-дезоксирибозид 5-(α -оксиизопропил)-урацила. Полученные соединения охарактеризованы совокупностью спектральных методов исследования: УФ-, ИК-, КД- и ПМР-спектроскопией. α -Аномеры 5-изобутил- и 5-(α -оксиизопропил)-2'-дезоксиуридинина ингибируют репродукцию вируса простого герпеса HSV-1 *in vitro*.

При изучении 5-замещенных аномерных дезоксиуридинов было показано, что α -аномеры 5-изопропил- и 5-(оксигексафторизопропил)-2'-дезоксиуридина обладают противовирусными свойствами [1, 2]. В связи с этим мы продолжили изучение аналогов тимидина, содержащих вместо метильной группы разветвленный заместитель.

5-Замещенные урацилы (I) — (III) и (V) синтезировали по методике [3] конденсацией 2,4-дibenзилокси-5-литийпириимида с карбонилсодержащими соединениями. Последующим гидрогенолизом получали урацилы (I) и (II). Для получения соединения (III) гидрирование прекращали после удаления O-бензильных остатков. 2,4-Дibenзилокси-5-(α -оксиизопропил)пириимидин (V) непосредственно использовали в реакции гликозилирования. Конденсацией урацилов (I) — (III) в виде их trimetilsilyльных производных с 2-дезокси-3,5-ди-O-n-толуил- α -D-рибофуранозилхлоридом (VI) в дихлорэтане в присутствии четыреххлористого олова получали ацилированные дезоксирибозиды (VII) — (IX), которые очищали препаративной ТСХ и выделяли в виде смеси α - и β -аномеров. После обработки реакционной смеси, образующейся при взаимодействии 5-(α -оксиизобутил)урацила (III) с ацилгалогенозой (VI), помимо целевых дезоксирибозидов (IX) (25,4%) была выделена фракция (41%), содержащая, по данным ПМР, аномерные дезоксирибозиды 5-(α -этоксизобутил)-урацила (X). Мы полагаем, что производные (X) образуются из нуклеозидов (IX) в процессе обработки реакционной смеси в результате взаимодействия с этианолом, содержащимся в хлороформе. Высокая реакционная способность этих соединений так же, как и в случае 5-оксиметилюридина, связана со стабильностью катиона, образующегося из 5- α -оксиалкилпроизвод-

Таблица 1

Характеристики синтезированных соединений

Соединение	Вза- ход %, η_{D}	Найдено, %			Брутто-формула	Вычислено, %		
		C	H	N		C	H	N
(XII-β)	13,1	53,59	7,28	9,81				
(XII-α)	29,6	53,36	7,18	9,43	$\text{C}_{13}\text{H}_{20}\text{N}_2\text{O}_5 \cdot 1/2\text{H}_2\text{O}$	53,22	7,21	9,55
(XIII-β)	28,1	52,97	7,00	9,87				
(XIII-α)	17,7	52,50	6,87	9,90	$\text{C}_{13}\text{H}_{20}\text{N}_2\text{O}_5 \cdot 1/2\text{H}_2\text{O}$	53,22	7,21	9,55
(XV-β)	12,3	53,27	7,13	8,57				
(XV-α)	11,0	53,31	7,26	8,66	$\text{C}_{15}\text{H}_{24}\text{N}_2\text{O}_6 \cdot 1/2\text{H}_2\text{O}$	53,40	7,47	8,30

Соединение	УФ-спектр		КД-спектр		ИК-спектр	
	$\lambda_{\text{макс}} \text{, нм}$	ε	$\lambda_{\text{экстр}} \text{, нм}$	$[\theta] \cdot 10^{-3}$	$\nu_{\text{макс}} \text{, см}^{-1}$	
(XII-β)	267	8600	272	+8,58	3430, 3250, 1680	
(XII-α)	268	9400	271	-5,78	3420, 3240, 1680	
(XIII-β)	268	8400	273	+9,08	3460, 3170, 1680	
(XIII-α)	268	8200	271	-6,60	3430, 3180, 1680	
(XV-β)	268	9400	273	+6,60	3440, 3240, 1680	
(XV-α)	270	9400	272	-4,46	3440, 3240, 1680	

* Выход приведен в пересчете на исходное производное (VI).

водного уридуна в кислой среде [4]. Смеси аномеров (VII)–(X) дезактивировали действием метилата натрия в метаноле и разделяли препаративной ТСХ на индивидуальные аномеры ($\text{XII-}\beta$ и $-\alpha$), ($\text{XIII-}\beta$ и $-\alpha$), ($\text{XV-}\beta$ и $-\alpha$). Апомерные 5-(α -оксиизобутил)-2'-дезоксиуридины (XIV) разделить не удалось даже при многократном пропускании системы растворителей через пластину. В модельном опыте нуклеозид (XIV) в этиловом спирте в присутствии кислоты, по данным ТСХ, полностью превращался в производное (XV) в течение ~ 12 ч. В аналогичных условиях из 5-(α -оксиизобутил)урацила (III) в течение 2 ч образуется замещенный пиримидин (IV).

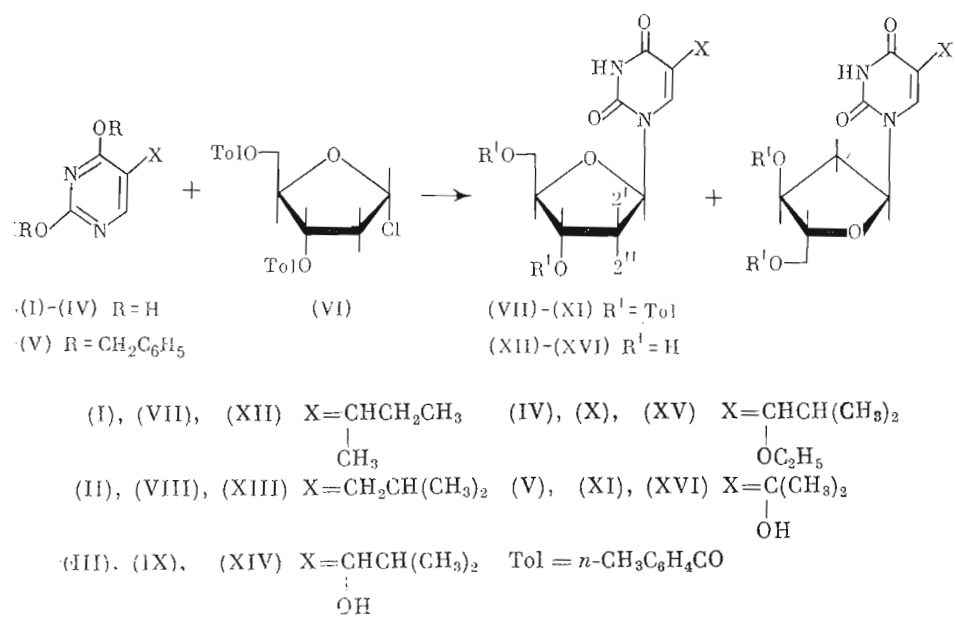


Таблица 2

Спектры ДМР синтезированных соединений
Приведены δ , м. д. (J , Гц) *

Соединение	$^{1'}\text{-H}$	$^{2'}\text{-H}_2$	$^{3'}\text{-H}$	$^{4'}\text{-H}$	$^{5'}\text{-H}$	$^{6}\text{-H}$	Протоны алкильной группы		
							CH	CH ₂	CH ₃
(I)						7,45	2,69	1,50	1,07; 0,75
(II)						7,45	1,78	2,03	0,80
(III)						7,68	4,81; 2,28		1,03; 0,98
(V) ^{2*}						8,97			1,61
(XII-β)	6,30 (7,8)					3,74	2,61	4,50	1,07; 0,83
(XII-α)	6,25** (~7,6, ~2,5)	2,66; 2,00	4,30	3,90	3,54	7,77 3*	2,66	1,51	1,10; 0,83
(XIII-β)	6,30 (6,8)	2,27	4,42	3,94	3,78	7,84	1,88	2,17	0,90
(XIII-α)	6,22 (7,8; 2,6)	2,68; 2,16	4,33	3,58	7,76	4,88	2,14	0,89	
(XV-β)	6,32 (6,6)	2,27	4,42	3,95	3,73	7,92	4,05; 1,90	3,40	1,15; 0,90
(XV-α)	6,22 (7,4; 2,0)	2,64; 2,07	4,32	3,58	7,84	4,06; 1,80	3,46	1,45; 0,90	
(XVI-α)	6,81 (8,0; 2,4)	2,89; 2,36	4,79	3,86	8,48			2,43	

* Растворитель $\text{C}_6\text{H}_5\text{N}-d_6$ для соединений (I), (III), (V) и (XVI-a). DMSO-*d*₆ для соединения (II) и CD_3OD для прочих.

** В спектре присутствуют также сигналы $^{14}\text{N}-7,64$ [C_6H_5 , 5,45 (CH₂)].

** Сигнал усложнен за счет виртуального взаимодействия.

Противовирусная активность синтезированных соединений *

Концентрация 250 мкг/мл

Соединение	Снижение титра вируса, ЦПД ₅₀		Соединение	Снижение титра вируса, ЦПД ₅₀	
	HSV-1	Осповакцина		HSV-1	Осповакцина
(XII-β)	10 ²	10	(XIV-β, α)	10	—
(XII-α)	10 ²	10 ²	(XV-β)	—	10 ^{1,5}
(XIII-β)	10 ²	10 ²	(XV-α)	10 ²	10
(XIII-α) **	10 ³	10 ^{1,5}	(XVI-α)	10 ³	10 ²

* В контрольной культуре, не обработанной препаратом, вирус герпеса и осповакцины размножался до титра 10⁶ ЦПД₅₀.

** Данные приведены для концентрации 125 мкг/мл; концентрация 250 мкг/мл оказалась токсичной для клеток.

Гликозилирование 2,4-дibenзилокси-5-(α -оксиизопропил)пирамидина (V) проводили в ацетонитриле при ~20° С. При этом образовалась многокомпонентная смесь, из которой после деблокирования был выделен в индивидуальном состоянии лишь α -аномер 5-(α -оксиизопропил)-2'-дезоксиуридуна (XVI-α).

Синтезированные соединения охарактеризованы совокупностью спектральных методов исследования (УФ-, ИК-, ЯД-, ПМР-спектроскопия) и элементным анализом (см. табл. 1, 2 и «Экспериментальную часть»). Сопоставление спектров ПМР синтезированных аналогов тимицина и сравнение их со спектрами аномерных тимидинов, описанных в работе [5], показывают, что введение различных заместителей в пятое положение пирамидинового цикла практически не влияет на величины химических сдвигов протонов фуранозного кольца. Основные различия спектров ПМР нуклеозидов β - и α -ряда сводятся к следующему: форма сигнала аномерного протона — псевдотриплет с $J_{1',2'_a} \approx J_{1',2'_b} \approx 7$ Гц для β -аномеров и дублет дублетов с $J_{1',2'} \sim 6-7$ Гц и $J_{1',2'_b} \sim 2,5$ Гц для α -аномеров. В каждой паре сигнал β -аномерного протона расположен в более слабом поле ($\delta \sim 0,1$ м.д.). Аномеры различаются по форме и расположению сигналов протонов 2'-Н(а) и 2'-Н(б): у β -аномеров химические сдвиги этих протонов практически совпадают, образуя сильно связанный мультиплет при ~2,2 м.д.; у α -аномеров сигнал протона 2'-Н смещается в слабое ($\Delta \sim 0,3$ м.д.), а протона 2'-Н(б) — в сильное поле ($\Delta \sim 0,2$ м.д.). Сигнал протона 4'-Н в β -аномерахмещен в сильное поле на ~0,4 м.д. по сравнению с α -аномерами, у которых сигналы протонов 3'-Н и 4'-Н практически совпадают. Аномеры различаются и по химическому сдвигу протонов C5'-H₂ — для β -ряда этот сигнал смещен в слабое поле на ~0,2 м.д.

Изучение противовирусной активности синтезированных соединений *in vitro* показало, что нуклеозиды (XIII-α) и (XVI-α) обладают выраженной активностью в отношении вируса простого герпеса HSV-1, тогда как их способность ингибировать репродукцию вируса осповакцины выражена слабее (табл. 3). Для апомерных 5-изобутил-2'-дезоксиуридинов (XIII) токсические и антигерпетические свойства выражены сильнее, у α -апомера.

Экспериментальная часть

Спектры ПМР записаны на приборе JNM-MH-100 (Япония), внутренний стандарт — тетраметилсилан. УФ-спектры получены на регистрирующем спектрофотометре «Unicam SP-800» (Англия), длина оптического пути 1 см, растворитель — этанол. ИК-спектры записаны на приборе «Perkin-Elmer 283» (США) в таблетках с КBr. Измерения кругового дихроизма проведены на дихромографе «Roussel-Jouan III» (Франция) в этаноле, в кювете с длиной оптического пути 1 см. Препартивную ТСХ проводили

на стеклянных пластинах (20×20 см), применяя силикагель LSL_{254} 5—40 мкм (Chemapol, ЧССР) при толщине слоя 1 мм. Противовирусную активность изучали в однослойных культурах куриных фибробластов по методике [1]. Для инфицирования использовали ДНК-содержащие вирусы герпеса типа 1 штамм VR₃ и осповакцины штамм Л-ИВП с множественностью 0,1 ЦПД₅₀ (50% цитопатическая доза) на клетку. Вирус герпеса выращивали на линии перевиваемых клеток почек кролика RK-13, а вирус осповакцины был получен в виде соксона кожи теленка, инфицированного вирусом осповакцины. Оба вируса титровали в культуре куриных фибробластов.

5-Алкилурацилы [3]. 5-*втор*-Бутилурацил (I), т. пл. 280—284° С (разл.). Найдено, %: С 57,47; Н 7,15; N 16,7. $\text{C}_8\text{H}_{12}\text{N}_2\text{O}_2$. Вычислено, %: С 57,14; Н 7,19; N 16,7. 5-Изобутилурацил (II), т. пл. 298—303° С. Лит. данные [3]: т. пл. 296—298° С. 5-(α -Оксизобутил)урацил (III), т. пл. 190—193° С (разл.). Лит. данные [3]: т. пл. >200° С (разл.). 2,4-Дибензилокси-5-(α -оксизопропил)пиrimидин (V), т. пл. 84,5—86° С. Лит. данные [3]: т. пл. 81—82° С.

Аномерные 5-алкил-2'-дезоксиуридины (XII)—(XIV). Смесь, состоящую из 12 ммоль 5-замещенного урацила (I)—(III), 2,5 мг $(\text{NH}_4)_2\text{SO}_4$ и 8 мл гексаметилдисилазана, кипятили 14 ч. Избыток гексаметилдисилазана отгоняли в вакууме, остаток растворяли в 10 мл дихлорэтана и прибавляли к суспензии 11 ммоль ацилгалогенозы (VI) и 2,1 ммоль SnCl_4 в 10 мл дихлорэтана. Реакционную смесь перемешивали 4 ч при 20° С, затем разбавляли равным количеством хлороформа, промывали последовательно насыщенным раствором NaHCO_3 (2×10 мл) и водой. Растворитель отгоняли в вакууме, ацилированные дезоксирибозиды (XII)—(XV) выделяли препартивной ТСХ в системе хлороформ—метанол (20 : 1). Раствор 10 ммоль соединения (XII)—(XV) в 100 мл 1 н. метилата натрия в метаноле через 3,5 ч при 20° С пейтраплизовали дауэксом 50 (H^+) до pH 7 по универсальному индикатору, смолу отделяли, растворитель отгоняли в вакууме. Аномеры разделяли препартивной ТСХ в системе этилацетат—метанол (10 : 1) при двукратном пропускании растворителя через пластину. Характеристики полученных соединений приведены в табл. 1, 2. Аномерные нуклеозиды (XIV- α, β) разделить не удалось. ПМР-спектр (CD_3OD , δ, м.д.): 6,32 (1'-Н, β -аномер), 6,22 (1'-Н, α -аномер), 4,38 (3'-Н, α - и β -аномеры и 4'-Н, α -аномер), 3,94 (4'-Н, β -аномер), 3,86—3,50 (5'-Н₂, α - и β -аномеры и CHOH), 2,66 (2'-Н(a), α -аномер), 2,24—1,80 (2'-Н(a, б), β -аномер; 2'-Н(б), α -аномер и $\text{CH}(\text{CH}_3)_2$).

α-Аномер 5-(α -оксизопропил)-2'-дезоксиуридина (XVI- α). К раствору 1,7 г (4,9 ммоль) 2,4-дибензилокси-5-(α -оксизопропил)пиrimидина (V) в 40 мл ацетонитрила прибавляли 1,9 г (4,9 ммоль) ацилгалогенозы (VI) и перемешивали 2 сут. Растворитель упаривали в вакууме, прибавляли 40 мл хлороформа, насыщенного при 0° С хлористым водородом, и оставляли на 14 ч при 20—22° С, после чего промывали насыщенным раствором NaHCO_3 , водой, растворитель упаривали, остаток (3,3 г) сушили в вакууме над P_2O_5 , растворяли в 50 мл 0,1 н. метилата натрия в метаноле. Через 4 ч прибавляли дауэкс 50 (H^+) до pH 7 по универсальному индикатору, смолу отделяли, фильтрат упаривали в вакууме с добавлением спирта. Получали 2 г смеси веществ, которую разделяли препартивной ТСХ в системе этилацетат—изопропиловый спирт (9 : 1). Выделяли фракцию с $R_f \sim 0,2$ (0,32 г), повторно хроматографировали ее в системе этилацетат—изопропиловый спирт (2 : 1) и получали 0,15 г (10,8%) дезоксирибозида (XVI- α). Найдено, %: С 50,81; Н 6,90; N 9,35. $\text{C}_{12}\text{H}_{18}\text{N}_2\text{O}_6$. Вычислено, %: С 50,34; Н 6,33; N 9,79.

ЛИТЕРАТУРА

- Бектемиров Т. А., Чекунова Э. В., Анджапаридзе О. Г., Мельник С. Я., Бахмедова А. А., Преображенская М. Н. Вопр. вирусологии, 1979, № 6, с. 603—606.
- Мельник С. Я., Бахмедова А. А., Недорезова Т. П., Ворновицкая Г. Й., Преображенская М. Н., Аветисян Э. А., Герман Л. С., Полищук В. Р., Чекунова Э. В.,

- Бектемиров Т. А., Анджапаридзе О. Г. Биоорган. химия, 1981, т. 7, № 7, с. 1047–1053.*
3. *Mulvey D. M., Babson R. D., Zawoiski S., Ryder M. A. J. Heterocycl. Chem., 1973, v. 10, № 1, p. 79–83.*
 4. *Кочетков Н. К., Будовский Э. И., Сверлов Е. Д., Симукова Н. А., Турчинский М. Ф., Шibaев В. Н. Органическая химия нуклеиновых кислот. М.: Химия, 1970, с. 612.*
 5. *Cadet J., Taieb C., Remin M., Niemczura W. P., Hruska F. E. Biochim. et biophys. acta, 1980, v. 608, p. 435–445.*

Поступила в редакцию
4.II.1982

SYNTHESIS AND INVESTIGATION OF THYMIDINE ANALOGS WITH BRANCHED SUBSTITUENT AT 5-POSITION OF PYRIMIDINE RING

MELNIK S. V., BAKHMEDOVA A. A., YARTZEEVA I. V.,
PREOBRAZHENSKAYA M. N., ZAGULYAEVA O. A., MAMAEV V. P.,
CHEKUNOVA E. V., BEKTEMIROV T. A., ANDZHAPARIDZE O. G.

*All-Union Cancer Research Center, Academy of Medical Sciences
of the USSR, Moscow; Novosibirsk Institute of Organic Chemistry,
Siberian Branch of the Academy of Sciences of the USSR,
Novosibirsk; Research Institute of Virus Preparations, Moscow*

Condensation of silylated 5-sec. butyl-, 5-isobutyl and 5-(α -hydroxybutyl)uracil with 2-deoxy-3,5-di-O-p-tolyl- α -D-ribofuranosyl chloride in dichloroethane in the presence of SnCl_4 and subsequent deacylation led to corresponding anomeric 5-substituted 2'-deoxyuridines. During the work-up of the reaction mixture obtained from 5-(α -hydroxybutyl)uracil and acylgalactose, anomeric deoxyribosides of 5-(α -ethoxyisobutyl)-uracil were isolated along with desired deoxyribosides. α -D-2-Deoxyriboside of 5-(α -hydroxyisopropyl)uracil was synthesized by glycosylation of 2,4-dibenzoyloxy-5-(α -hydroxyisopropyl)pyrimidine. The obtained compounds were characterized by UV, CD and NMR data. The α -anomers of 5-isobutyl- and 5-(α -hydroxyisopropyl)-2'-deoxyuridine were found to inhibit HSV-1 reproduction in vitro.